

発生ガス、埋立地内部温度のモニタリング結果

測定地点: 埋立地・第1区画(No.C20ガス抜き管)

項目	単位	調査年月日				測定方法
		令和6年度 第4四半期 2月5日	令和7年度 第1四半期 5月14日	令和7年度 第2四半期 8月26日	令和7年度 第3四半期 11月18日	
発生ガス量	mL/min	10未満	10未満	10未満	10未満	石鹼膜流量計による
ガス温度	°C	7.1	20.0	28.4	16.0	熱電対温度計による
気温	°C	3.0	23.2	31.5	13.2	アスマン通風乾湿計による
埋立地 内部温度	°C	7.1 (-1.0 m) 7.9 (-2.0 m) 8.1 (-3.0 m) 8.1 (-4.0 m) 8.3 (-5.0 m) 9.3 (-6.0 m) 10.7 (-7.0 m) 11.3 (-8.0 m) 11.1 (-9.0 m) 10.8 (-10.0 m) 10.8 (-11.0 m) 10.8 (-12.0 m) 10.8 (-13.0 m) 10.8 (-14.0 m) 10.8 (-15.0 m) (深度)	20.0 (-1.0 m) 20.0 (-2.0 m) 19.8 (-3.0 m) 19.6 (-4.0 m) 19.6 (-5.0 m) 19.6 (-6.0 m) 19.6 (-7.0 m) 19.6 (-8.0 m) 19.6 (-9.0 m) 19.6 (-10.0 m) 19.4 (-11.0 m) 19.4 (-12.0 m) 19.4 (-13.0 m) 19.4 (-14.0 m) 19.4 (-15.0 m)	28.4 (-1.0 m) 28.0 (-2.0 m) 27.7 (-3.0 m) 27.1 (-4.0 m) 26.7 (-5.0 m) 26.4 (-6.0 m) 26.1 (-7.0 m) 25.9 (-8.0 m) 25.8 (-9.0 m) 25.8 (-10.0 m) 25.6 (-11.0 m) 24.5 (-12.0 m) 23.9 (-13.0 m) 23.4 (-14.0 m) 23.4 (-15.0 m)	16.0 (-1.0 m) 16.2 (-2.0 m) 16.2 (-3.0 m) 16.3 (-4.0 m) 16.5 (-5.0 m) 17.1 (-6.0 m) 17.7 (-7.0 m) 17.8 (-8.0 m) 17.9 (-9.0 m) 18.0 (-10.0 m) 18.3 (-11.0 m) 18.3 (-12.0 m) 18.3 (-13.0 m) 18.4 (-14.0 m) 18.5 (-15.0 m)	石鹼膜流量計による 熱電対温度計による アスマン通風乾湿計による 熱電対温度計による
気圧	hPa	994	1011	1004	1003	アネロイド式気圧計による
メタン	%	0.1未満	0.1未満	0.1未満	0.1未満	ガスクロマトグラフ(TCD)法による
二酸化炭素	%	0.1未満	0.1未満	0.1	0.1未満	ガスクロマトグラフ(TCD)法による
アンモニア	ppm	0.2未満	0.2未満	0.2未満	0.2未満	検知管法による
硫化水素	ppm	0.001未満	0.001未満	0.001未満	0.001未満	ガスクロマトグラフ(FPD)法による
酸素	%	20.8	20.3	20.7	20.6	ガスクロマトグラフ(TCD)法による



発生ガス、埋立地内部温度のモニタリング結果

測定地点: 埋立地・第2区画(No.C29ガス抜き管)

項目	単位	調査年月日				測定方法
		令和6年度 第4四半期 2月5日	令和7年度 第1四半期 5月14日	令和7年度 第2四半期 8月26日	令和7年度 第3四半期 11月18日	
発生ガス量	mL/min	10未満	10未満	10未満	10未満	石鹼膜流量計による
ガス温度	°C	5.6	19.6	27.7	15.6	熱電対温度計による
気温	°C	3.4	23.4	32.0	13.4	アスマン通風乾湿計による
埋立地 内部温度	°C	5.6 (-1.0 m) 7.9 (-2.0 m) 8.2 (-3.0 m) 8.3 (-4.0 m) 8.8 (-5.0 m) 9.2 (-6.0 m) 10.6 (-7.0 m) 10.7 (-8.0 m) 10.7 (-9.0 m) 10.7 (-10.0 m) 10.7 (-11.0 m) 10.7 (-12.0 m) 10.8 (-13.0 m) 10.8 (-14.0 m) 10.8 (-15.0 m) 11.0 (-16.0 m) 11.0 (-17.0 m)	19.6 (-1.0 m) 19.5 (-2.0 m) 19.8 (-3.0 m) 20.8 (-4.0 m) 22.0 (-5.0 m) 23.0 (-6.0 m) 23.0 (-7.0 m) 22.7 (-8.0 m) 22.7 (-9.0 m) 22.7 (-10.0 m) 22.7 (-11.0 m) 22.7 (-12.0 m) 22.7 (-13.0 m) 22.7 (-14.0 m) 22.7 (-15.0 m) 22.7 (-16.0 m) 22.7 (-17.0 m)	27.7 (-1.0 m) 27.6 (-2.0 m) 27.6 (-3.0 m) 27.5 (-4.0 m) 27.5 (-5.0 m) 27.5 (-6.0 m) 27.7 (-7.0 m) 27.7 (-8.0 m) 27.7 (-9.0 m) 27.1 (-10.0 m) 26.7 (-11.0 m) 26.3 (-12.0 m) 26.4 (-13.0 m) 26.4 (-14.0 m) 24.7 (-15.0 m) 24.6 (-16.0 m) 24.6 (-17.0 m)	15.6 (-1.0 m) 16.7 (-2.0 m) 18.1 (-3.0 m) 18.6 (-4.0 m) 19.1 (-5.0 m) 19.5 (-6.0 m) 20.4 (-7.0 m) 21.2 (-8.0 m) 21.3 (-9.0 m) 21.7 (-10.0 m) 21.8 (-11.0 m) 22.3 (-12.0 m) 22.4 (-13.0 m) 22.8 (-14.0 m) 22.8 (-15.0 m) 22.8 (-16.0 m) 22.8 (-17.0 m)	熱電対温度計による
(深度)						
気圧	hPa	994	1011	1004	1003	アネロイド式気圧計による
メタン	%	0.1未満	0.1未満	0.1未満	0.1未満	ガスクロマトグラフ(TCD)法による
二酸化炭素	%	0.5	0.2	0.3	0.2	ガスクロマトグラフ(TCD)法による
アンモニア	ppm	0.2未満	0.2未満	0.2未満	0.2未満	検知管法による
硫化水素	ppm	0.001未満	0.001未満	0.001未満	0.001未満	ガスクロマトグラフ(FPD)法による
酸素	%	19.8	19.8	20.0	20.3	ガスクロマトグラフ(TCD)法による



発生ガス、埋立地内部温度のモニタリング結果

測定地点: 埋立地・第3区画(No.C43ガス抜き管)

項目	単位	調査年月日				測定方法	
		令和6年度 第4四半期 2月5日	令和7年度 第1四半期 5月14日	令和7年度 第2四半期 8月26日	令和7年度 第3四半期 11月18日		
発生ガス量	mL/min	10未満	10未満	10未満	10未満	石鹼膜流量計による	
ガス温度	°C	31.3	32.8	33.9	32.6	熱電対温度計による	
気温	°C	7.4	24.6	34.4	14.1	アスマン通風乾湿計による	
埋立地 内部温度	°C	31.5 (-1.0 m) 35.6 (-2.0 m) 36.3 (-3.0 m) 37.2 (-4.0 m) 36.2 (-5.0 m) 36.2 (-6.0 m) 36.2 (-7.0 m) 36.2 (-8.0 m)	32.8 (-1.0 m) 37.9 (-2.0 m) 38.0 (-3.0 m) 39.3 (-4.0 m) 39.4 (-5.0 m) 40.3 (-6.0 m) 40.6 (-7.0 m) 40.9 (-8.0 m)	33.9 (-1.0 m) 35.4 (-2.0 m) 37.2 (-3.0 m) 39.3 (-4.0 m) 40.3 (-5.0 m) 40.6 (-6.0 m) 40.8 (-7.0 m) 40.9 (-8.0 m)	32.6 (-1.0 m) 35.9 (-2.0 m) 36.2 (-3.0 m) 38.5 (-4.0 m) 38.8 (-5.0 m) 40.1 (-6.0 m) 40.2 (-7.0 m) 40.2 (-8.0 m)		
(深度)						熱電対温度計による	
気圧	hPa	994	1011	1004	1003	アネロイド式気圧計による	
メタン	%	0.1未満	0.1未満	0.1未満	0.1未満	ガスクロマトグラフ(TCD)法による	
二酸化炭素	%	1	1.5	2.7	1.7	ガスクロマトグラフ(TCD)法による	
アンモニア	ppm	0.2未満	0.2未満	0.2未満	0.2未満	検知管法による	
硫化水素	ppm	0.001未満	0.001未満	0.001未満	0.001未満	ガスクロマトグラフ(FPD)法による	
酸素	%	19.2	17.3	15.2	17.9	ガスクロマトグラフ(TCD)法による	



発生ガス、埋立地内部温度のモニタリング結果

測定地点：埋立地・第4区画(No.C53ガス抜き管)

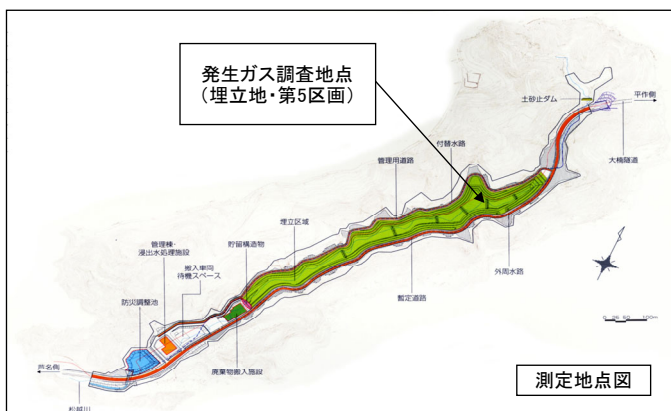
項目	単位	調査年月日				測定方法
		令和6年度 第4四半期 2月5日	令和7年度 第1四半期 5月14日	令和7年度 第2四半期 8月26日	令和7年度 第3四半期 11月18日	
発生ガス量	mL/min	10未満	10未満	10未満	10未満	石鹼膜流量計による
ガス温度	℃	22.0	26.0	36.5	32.0	熱電対温度計による
気温	℃	5.6	23.5	34.3	14.1	アスマン通風乾湿計による
(深度)	℃	22.1 (-1.0 m)	26.0 (-1.0 m)	36.5 (-1.0 m)	32.0 (-1.0 m)	熱電対温度計による
		22.6 (-2.0 m)	26.9 (-2.0 m)	35.6 (-2.0 m)	32.3 (-2.0 m)	
		24.1 (-3.0 m)	26.9 (-3.0 m)	34.3 (-3.0 m)	31.9 (-3.0 m)	
		24.9 (-4.0 m)	26.9 (-4.0 m)	33.4 (-4.0 m)	31.1 (-4.0 m)	
		24.2 (-5.0 m)	26.9 (-5.0 m)	33.3 (-5.0 m)	30.8 (-5.0 m)	
		23.7 (-6.0 m)	26.7 (-6.0 m)	33.3 (-6.0 m)	30.7 (-6.0 m)	
		23.7 (-7.0 m)	26.7 (-7.0 m)	33.3 (-7.0 m)	30.5 (-7.0 m)	
		23.8 (-8.0 m)	26.6 (-8.0 m)	33.0 (-8.0 m)	30.1 (-8.0 m)	
		23.8 (-9.0 m)	26.6 (-9.0 m)	32.3 (-9.0 m)	30.0 (-9.0 m)	
		23.8 (-10.0 m)	26.6 (-10.0 m)	32.1 (-10.0 m)	29.7 (-10.0 m)	
		23.7 (-11.0 m)	26.6 (-11.0 m)	31.5 (-11.0 m)	29.5 (-11.0 m)	
		23.7 (-12.0 m)	26.6 (-12.0 m)	31.0 (-12.0 m)	29.1 (-12.0 m)	
		23.7 (-13.0 m)	26.7 (-13.0 m)	29.9 (-13.0 m)	28.8 (-13.0 m)	
		23.7 (-14.0 m)	26.7 (-14.0 m)	29.9 (-14.0 m)	28.8 (-14.0 m)	
		23.7 (-15.0 m)	26.6 (-15.0 m)	29.8 (-15.0 m)	28.8 (-15.0 m)	
				29.8 (-16.0 m)	28.8 (-16.0 m)	
				29.8 (-17.0 m)	28.8 (-17.0 m)	
				29.8 (-18.0 m)	28.8 (-18.0 m)	
				29.8 (-19.0 m)	28.9 (-19.0 m)	
				29.9 (-20.0 m)	28.9 (-20.0 m)	
				30.0 (-21.0 m)	28.9 (-21.0 m)	
				30.1 (-22.0 m)	28.9 (-22.0 m)	
				30.2 (-23.0 m)	28.9 (-23.0 m)	
気圧	hPa	994	1011	1004	1003	アネロイド式気圧計による
メタン	%	0.1未満	0.1未満	0.1未満	0.1未満	ガスクロマトグラフ(TCD)法による
二酸化炭素	%	0.1	0.1未満	0.6	0.4	ガスクロマトグラフ(TCD)法による
アンモニア	ppm	0.2未満	0.2未満	0.2未満	0.2未満	検知管法による
硫化水素	ppm	0.002	0.002	0.004	0.006	ガスクロマトグラフ(FPD)法による
酸素	%	20.7	20.2	18.9	20.0	ガスクロマトグラフ(TCD)法による



発生ガス、埋立地内部温度のモニタリング結果

測定地点: 埋立地・第5区画(No.C57ガス抜き管)

項目	単位	調査年月日				測定方法
		令和6年度 第4四半期 2月5日	令和7年度 第1四半期 5月14日	令和7年度 第2四半期 8月26日	令和7年度 第3四半期 11月18日	
発生ガス量	mL/min	10未満	10未満	10未満	10未満	石鹼膜流量計による
ガス温度	°C	5.6	19.5	28.9	13.7	熱電対温度計による
気温	°C	5.6	23.8	33.3	13.7	アスマン通風乾湿計による
埋立地 内部温度	°C	5.6 (-1.0 m) 5.6 (-2.0 m) 5.9 (-3.0 m) 6.3 (-4.0 m) 6.3 (-5.0 m) 6.9 (-6.0 m) 7.2 (-7.0 m) 7.3 (-8.0 m) 7.9 (-9.0 m) 8.8 (-10.0 m) 9.0 (-11.0 m) 9.2 (-12.0 m) 9.3 (-13.0 m) 9.3 (-14.0 m) 9.3 (-15.0 m) 9.3 (-16.0 m) 9.3 (-17.0 m) (深度)	19.5 (-1.0 m) 19.0 (-2.0 m) 18.9 (-3.0 m) 18.9 (-4.0 m) 18.8 (-5.0 m) 18.8 (-6.0 m) 18.7 (-7.0 m) 18.6 (-8.0 m) 18.6 (-9.0 m) 18.5 (-10.0 m) 18.3 (-11.0 m) 18.3 (-12.0 m) 18.3 (-13.0 m) 18.3 (-14.0 m) 18.3 (-15.0 m) 18.3 (-16.0 m) 18.3 (-17.0 m)	28.9 (-1.0 m) 28.4 (-2.0 m) 28.2 (-3.0 m) 27.8 (-4.0 m) 27.8 (-5.0 m) 27.8 (-6.0 m) 27.7 (-7.0 m) 27.4 (-8.0 m) 26.5 (-9.0 m) 23.6 (-10.0 m) 23.6 (-11.0 m) 23.5 (-12.0 m) 23.5 (-13.0 m) 23.5 (-14.0 m) 23.5 (-15.0 m) 23.5 (-16.0 m) 23.5 (-17.0 m)	13.7 (-1.0 m) 13.7 (-2.0 m) 14.4 (-3.0 m) 14.9 (-4.0 m) 15.1 (-5.0 m) 15.1 (-6.0 m) 15.4 (-7.0 m) 15.6 (-8.0 m) 15.8 (-9.0 m) 15.9 (-10.0 m) 15.9 (-11.0 m) 16.5 (-12.0 m) 16.8 (-13.0 m) 17.0 (-14.0 m) 17.0 (-15.0 m) 17.0 (-16.0 m) 17.0 (-17.0 m)	石鹼膜流量計による 熱電対温度計による アスマン通風乾湿計による 熱電対温度計による
気圧	hPa	994	1011	1004	1003	アネロイド式気圧計による
メタン	%	0.1未満	0.1未満	0.1未満	0.1未満	ガスクロマトグラフ(TCD)法による
二酸化炭素	%	0.1未満	0.1未満	0.1未満	0.1未満	ガスクロマトグラフ(TCD)法による
アンモニア	ppm	0.2未満	0.2未満	0.2未満	0.2未満	検知管法による
硫化水素	ppm	0.001未満	0.001未満	0.001未満	0.001未満	ガスクロマトグラフ(FPD)法による
酸素	%	20.7	20.3	20.7	20.6	ガスクロマトグラフ(TCD)法による



発生ガス、埋立地内部温度のモニタリング結果

測定地点: 埋立地・第6区画(No.C58ガス抜き管)

項目	単位	調査年月日				測定方法
		令和6年度 第4四半期 2月5日	令和7年度 第1四半期 5月14日	令和7年度 第2四半期 8月26日	令和7年度 第3四半期 11月18日	
発生ガス量	mL/min	10未満	10未満	10未満	10未満	石鹼膜流量計による
ガス温度	°C	6.4	19.5	29.5	13.6	熱電対温度計による
気温	°C	6.2	23.8	33.5	13.7	アスマン通風乾湿計による
埋立地 内部温度	°C	6.4 (-1.0 m) 6.6 (-2.0 m) 6.6 (-3.0 m) 6.7 (-4.0 m) 7.2 (-5.0 m) 8.4 (-6.0 m) 8.6 (-7.0 m) 11.3 (-8.0 m) 14.0 (-9.0 m) 16.5 (-10.0 m) 17.0 (-11.0 m) 17.1 (-12.0 m) 17.6 (-13.0 m) 17.0 (-14.0 m) 17.0 (-15.0 m) 16.7 (-16.0 m) 16.7 (-17.0 m) (深度)	19.5 (-1.0 m) 19.7 (-2.0 m) 19.8 (-3.0 m) 20.2 (-4.0 m) 20.2 (-5.0 m) 20.2 (-6.0 m) 20.3 (-7.0 m) 20.4 (-8.0 m) 20.4 (-9.0 m) 20.5 (-10.0 m) 20.5 (-11.0 m) 20.6 (-12.0 m) 20.6 (-13.0 m) 20.6 (-14.0 m) 20.6 (-15.0 m) 20.6 (-16.0 m) 20.6 (-17.0 m)	29.5 (-1.0 m) 28.9 (-2.0 m) 28.6 (-3.0 m) 28.6 (-4.0 m) 28.3 (-5.0 m) 27.9 (-6.0 m) 27.6 (-7.0 m) 27.5 (-8.0 m) 27.5 (-9.0 m) 24.8 (-10.0 m) 23.8 (-11.0 m) 23.8 (-12.0 m) 23.8 (-13.0 m) 23.8 (-14.0 m) 23.8 (-15.0 m) 23.8 (-16.0 m) 23.8 (-17.0 m)	13.6 (-1.0 m) 13.7 (-2.0 m) 14.0 (-3.0 m) 14.7 (-4.0 m) 15.2 (-5.0 m) 16.0 (-6.0 m) 16.0 (-7.0 m) 16.4 (-8.0 m) 17.0 (-9.0 m) 17.5 (-10.0 m) 17.5 (-11.0 m) 17.6 (-12.0 m) 17.6 (-13.0 m) 17.7 (-14.0 m) 17.7 (-15.0 m) 17.7 (-16.0 m) 17.7 (-17.0 m)	石鹼膜流量計による 熱電対温度計による アスマン通風乾湿計による 熱電対温度計による
気圧	hPa	994	1011	1004	1003	アネロイド式気圧計による
メタン	%	0.1未満	0.1未満	0.1未満	0.1未満	ガスクロマトグラフ(TCD)法による
二酸化炭素	%	0.1未満	0.1未満	0.1未満	0.1未満	ガスクロマトグラフ(TCD)法による
アンモニア	ppm	0.2未満	0.2未満	0.2未満	0.2未満	検知管法による
硫化水素	ppm	0.001未満	0.001未満	0.001未満	0.001未満	ガスクロマトグラフ(FPD)法による
酸素	%	20.7	20.5	20.7	20.6	ガスクロマトグラフ(TCD)法による



発生ガス、埋立地内部温度のモニタリング結果

測定地点: 埋立地・第7区画(No.C62ガス抜き管)

項目	単位	調査年月日				測定方法
		令和6年度 第4四半期 2月5日	令和7年度 第1四半期 5月14日	令和7年度 第2四半期 8月26日	令和7年度 第3四半期 11月18日	
発生ガス量	mL/min	10未満	10未満	10未満	10未満	石鹼膜流量計による
ガス温度	°C	16.6	20.0	27.0	18.4	熱電対温度計による
気温	°C	7	23.8	33.2	13.5	アスマン通風乾湿計による
埋立地 内部温度	°C	16.6 (-1.0 m) 16.2 (-2.0 m) 15.4 (-3.0 m) 15.3 (-4.0 m) 15.0 (-5.0 m) 14.2 (-6.0 m) 14.0 (-7.0 m) 13.6 (-8.0 m) 13.6 (-9.0 m) 13.5 (-10.0 m) 13.5 (-11.0 m)	20.0 (-1.0 m) 20.0 (-2.0 m) 20.0 (-3.0 m) 19.9 (-4.0 m) 19.9 (-5.0 m) 19.9 (-6.0 m) 19.5 (-7.0 m) 19.2 (-8.0 m) 19.2 (-9.0 m) 19.2 (-10.0 m) 19.2 (-11.0 m)	27.0 (-1.0 m) 26.5 (-2.0 m) 26.4 (-3.0 m) 26.0 (-4.0 m) 24.9 (-5.0 m) 24.0 (-6.0 m) 24.0 (-7.0 m) 24.8 (-8.0 m) 25.3 (-9.0 m) 25.8 (-10.0 m) 25.9 (-11.0 m)	18.4 (-1.0 m) 19.3 (-2.0 m) 18.9 (-3.0 m) 18.9 (-4.0 m) 18.8 (-5.0 m) 18.8 (-6.0 m) 18.8 (-7.0 m) 18.8 (-8.0 m) 18.7 (-9.0 m) 18.7 (-10.0 m) 18.6 (-11.0 m)	熱電対温度計による
(深度)						
気圧	hPa	994	1011	1004	1003	アネロイド式気圧計による
メタン	%	0.1未満	0.1未満	0.1未満	0.1未満	ガスクロマトグラフ(TCD)法による
二酸化炭素	%	0.1未満	0.3	0.4	0.1	ガスクロマトグラフ(TCD)法による
アンモニア	ppm	0.2未満	0.2未満	0.2未満	0.2未満	検知管法による
硫化水素	ppm	0.001未満	0.001未満	0.001未満	0.001未満	ガスクロマトグラフ(FPD)法による
酸素	%	20.7	19.3	19.3	20.4	ガスクロマトグラフ(TCD)法による

